

Butée mécanique MechaLock

Compacte (fonction de centrage)

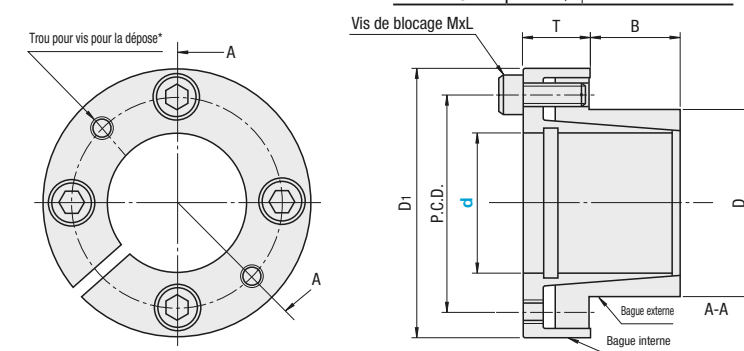
Caractéristiques : Est fourni avec la fonction de centrage et convient à l'utilisation combinée avec des moyeux de taille moyenne.



MLR
MLRP (placage autocatalytique au nickel)
MLRS (acier inoxydable)

RoHS

Type	Corps principal	
	Matériau	Traitement de surface
MLR	EN 1.1191 équiv.	-
MLRP	EN 1.1191 équiv.	Placage autocatalytique au nickel
MLRS	EN 1.4301 équiv.	-



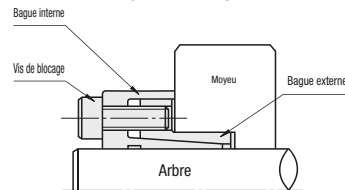
* Le diamètre du filetage du trou de vis pour la dépose est le même que celui de la vis de blocage de MLR et MLRP est teintée en rouge à cause du revêtement.

Référence pièce Type	d	D	D1	P.C.D.	T	B	Vis de verrouillage		Prix unitaire		
							MxL	Qté	MLR	MLRP	MLRS
MLR MLRP (placage autocatalytique au nickel) MLRS (acier inoxydable)	5	12	23	15.5	9	10	M3x8	4			
	6										
	8	15	28	19.5		11	12	M4x10	4		
	10	18	31.5	22.5					5		
	12	20	33.5	24.5							
	14	22	35.5	26.5							
	15	23	38.5	28.5							
	16	24	39.5	29.5							
	17	25	40.5	30.5							
	18	26	46	33							
	19	27	47	34							
	20	28	48	35							
	22	32	52	39							
	24										
	25	34	54	41							
	28	39	59	46							
	30	41	61	48							
	32	43	63	50							
	35	47	67	54							
	38	50	70	57							
40	53	73	60								
42	55	75	62								
45	59	84	69								
48	62	87	72								
50	65	90	75								

Ordering Example **Référence pièce MLR10**

Caractéristiques

- Petit écart entre D.I. et D.E. qui rend le design compact possible.
- Le moyeu ne bouge pas lors du serrage car la bague intérieure est en contact avec l'extrémité du moyeu.
- Il a pour fonction (fonction de centrage) de contrôler le mouvement pendulaire de l'extrémité et du pourtour du moyeu contre l'arbre.



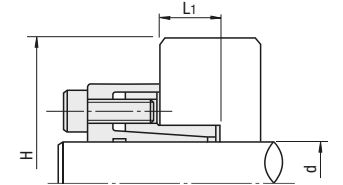
Rugosité de surface et tolérance de l'arbre et du moyeu recommandées

D.E. de l'arbre	h7(g6)	Ra1.6 ou moins
D.I. du moyeu	H7	Ra3.2 ou moins

Charge admissible appliquée à la butée mécanique Pour les étapes de conception, voir **P.1489**.

Type	MLR			MLRP			MLRS			Masse (g)
	Couple max. admissible (N·m)	Poussée axiale admissible (kN)	Serrage de la vis (N·m)	Couple max. admissible (N·m)	Poussée axiale admissible (kN)	Serrage de la vis (N·m)	Couple max. admissible (N·m)	Poussée axiale admissible (kN)	Serrage de la vis (N·m)	
5	9			9			3			36
6	11	3.45	1.7	11	3.45	1.7	4	1.05	1.1	34
8	25	6.09		25	6.09		8	1.92		61
10	44		4.0	44		4.0	14		2.7	78
12	53	8.71		53	8.71		17	2.75		86
14	61			61			20			94
15	115			115			38			135
16	123	15.3	8.0	123	15.3	8.0	41	5.0	5.6	140
17	131			131			43			146
18	210			210			68			221
19	221			221			71			228
20	233			233			75			235
22	256	23.2		256	23.2		83	7.4		287
24	279			279			90			302
25	291			291			94			293
28	488			488			157			378
30	523	34.8	14.0	523	34.8	14.0	168	11.1	9.6	396
32	558			558			180			414
35	813			813			262			484
38	883	46.4		883	46.4		284	14.9		512
40	929			929			299			560
42	976			976			314			580
45	1910			1910			620			962
48	2040	84.5	34.0	2040	84.5	34.0	670	27.5	23.6	1000
50	2120			2120			690			1090

kgf=Nx0.101972



Rigidité de l'arbre et du moyeu Pour les étapes de conception, voir **P.1489**.

d	MLR, MLRP						MLRS					
	Arbre Pression de la surface latérale MPa	Pression de la surface latérale MPa	H D.E. min. du moyeu			Profondeur d'usinage du moyeu L1	Arbre Pression de la surface latérale MPa	Pression de la surface latérale MPa	H D.E. min. du moyeu			Profondeur d'usinage du moyeu L1
			Contrainte du point de rupture du matériau du moyeu (MPa)						Contrainte du point de rupture du matériau du moyeu (MPa)			
			206	294	392				206	294	392	
5	188	99	23	23	23	12	57	30	23	23	23	12
6	156	99	23	23	23		48	30	23	23	23	
8	174	116	29	28	28		55	37	29	28	28	
10	193	134	40	31.5	31.5	14	61	43	31.5	31.5	31.5	14
12	161	121	40	33.5	33.5		51	39	33.5	33.5	33.5	
14	138	110	40	35.5	35.5		44	35	35.5	35.5	35.5	
15	178	150	58	41	38.5		59	49	38.5	38.5	38.5	
16	167	144	58	42	39.5	16	55	47	39.5	39.5	39.5	16
17	158	138	57	42	40.5		52	46	40.5	40.5	40.5	
18	195	198		59	46		63	64	46	46	46	
19	185	191	*	59	47		60	62	47	47	47	
20	176	184		59	48		57	59	48	48	48	
22	146	141	74	54	52		47	46	52	52	52	
24	134	133	74	56	54	18	43	43	54	54	54	18
25	128	133	74	56	54		42	43	54	54	54	
28	146	139	89	66	59		47	45	59	59	59	
30	136	132	88	67	61	22	44	43	61	61	61	22
32	128	126	88	68	63		41	41	63	63	63	
35	145	140	108	79	69		47	45	67	67	67	
38	133	131	106	81	71		43	42	70	70	70	
40	127	124	107	84	74	24	41	40	73	73	73	24
42	121	119	107	85	76		39	39	75	75	75	
45	160	148	146	103	88		52	49	84	84	84	
48	150	141	144	105	91	32	49	46	87	87	87	32
50	144	135	143	107	94		47	44	90	90	90	

* Indisponible en raison d'une trop forte pression sur la surface latérale

kgf/mm²=MPax0.101972